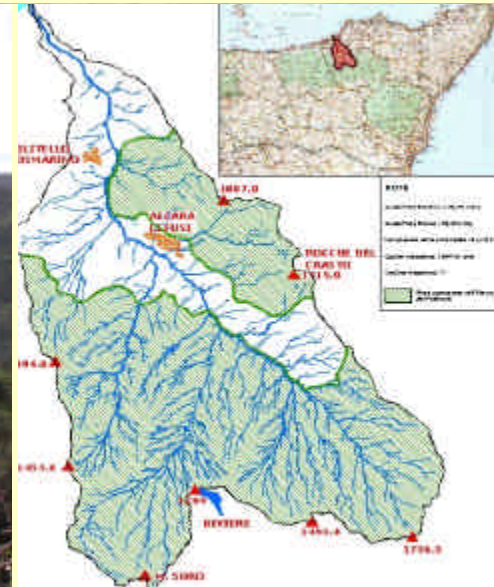




Sant'Agata li Battiati (CT), Febbraio 2004



Ord. P.C.M. n. 3305/2003

STUDIO GEOMORFOLOGICO DEL BACINO DEL TORRENTE ROSMARINO

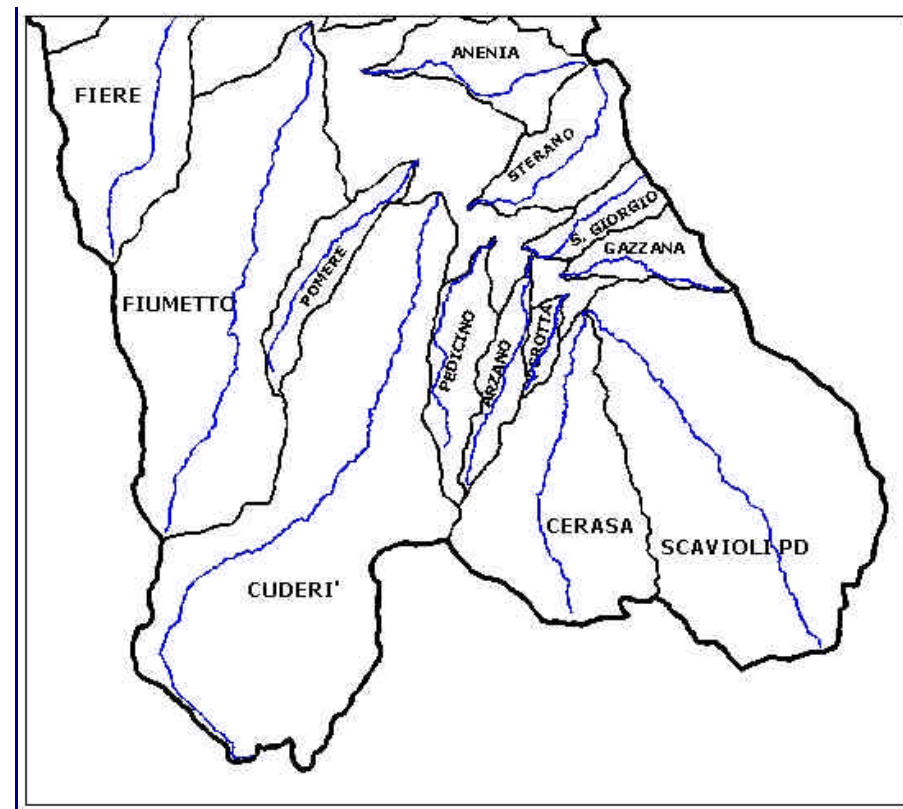
PRIMI RISULTATI

DOTT. GIUSEPPE BASILE - Responsabile del progetto (rilievi, analisi e interpretazione dati)
ARCH. MARINELLA PANEBIANCO (rilievi, analisi dati, editing)



PARAMETRI MORFOMETRICI

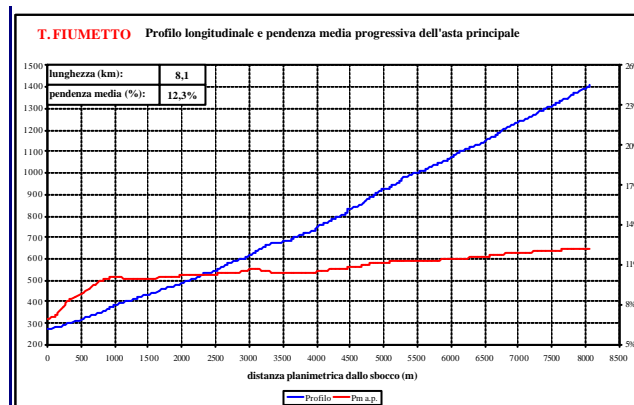
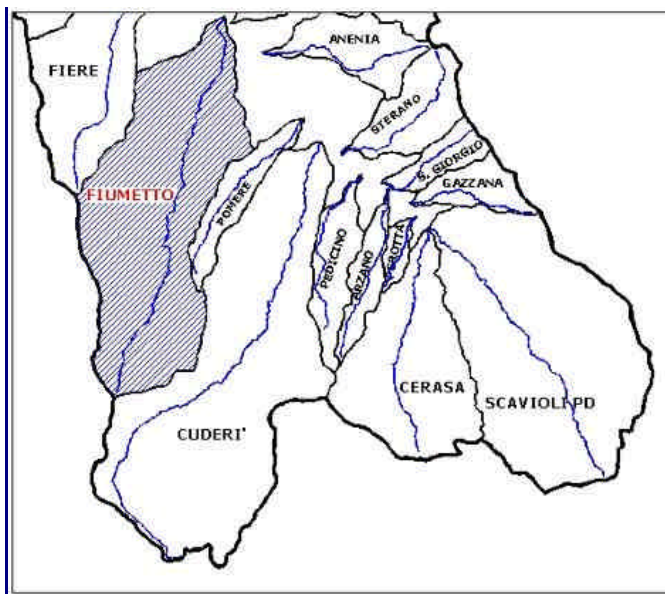
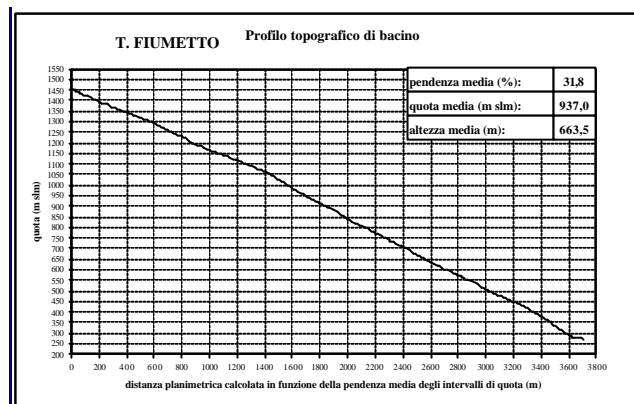
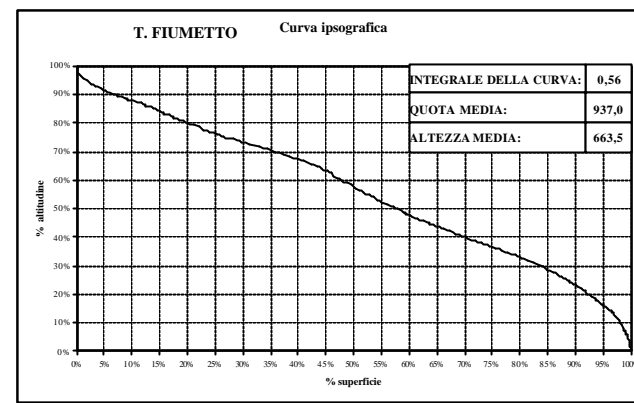
SOTTOBACINO DEL TORRENTE FIUMETTO	2
SOTTOBACINO DEL TORRENTE POMERE	3
SOTTOBACINO DEL TORRENTE CUDERI'	4
SOTTOBACINO DEL TORRENTE PEDICINO	5
SOTTOBACINO DEL TORRENTE ARZANO	6
SOTTOBACINO DEL TORRENTE PEROTTA	7
SOTTOBACINO DEL TORRENTE CERASA	8
SOTTOBACINO DEL TORRENTE SCAVIOLI PD	9
SOTTOBACINO DEL TORRENTE GAZZANA	10
SOTTOBACINO DEL TORRENTE SAN GIORGIO	11
SOTTOBACINO DEL TORRENTE STERANO	12
SOTTOBACINO DEL TORRENTE ANENIA	13





SOTTOBACINO DEL TORRENTE FIUMETTO

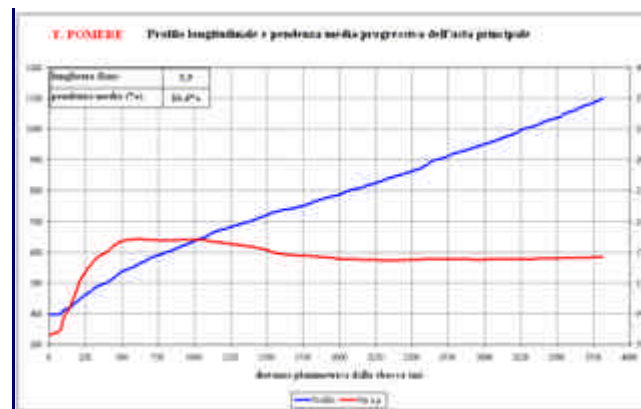
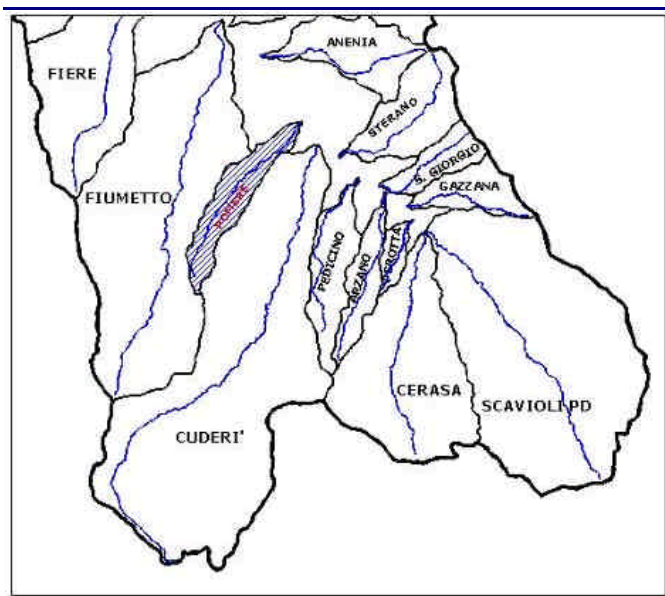
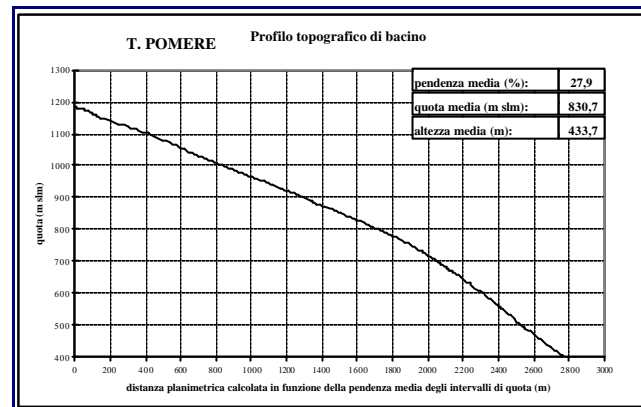
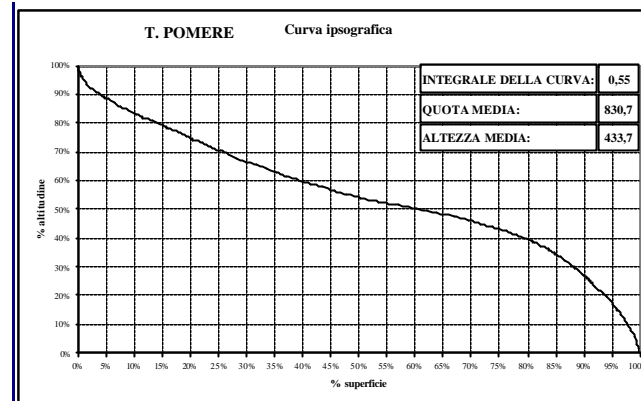
ELEMENTI DEL BACINO IDROGRAFICO			
S plan	(km ²)	13,0	Superficie misurata in pianta
S reale	(km ²)	13,6	Superficie in funz di "Pdm bac"
Perimetro	(km)	18,0	Lunghezza planimetrica dello spartiacque
Qmax	(m slm)	1453,8	Quota massima
Qmin	(m slm)	273,5	Quota minima
Qmed	(m slm)	937,0	Quota media
Hmed	(m)	663,5	Altezza media
Pdm bac	(%)	31,8%	Pendenza bacino (media pesata, metodo di Halvord-Horton)
L a.p.	(km)	8,1	Lunghezza dell'asta principale
Pdm ap	(%)	12,3%	Pendenza asta principale (media pesata)
C_forma		1,4	Coefficiente di forma (valore minimo=1)
Ordine max		6	Gerarchizzazione secondo Horton-Strahler
D dren	(km ⁻¹)	50,3	Densità di drenaggio (su base 1:10.000)
Fr Dren	(km ⁻²)	36,8	Frequenza di drenaggio
Idren		2,1	Intensità di drenaggio
Rb		3,7	Rapporto di biforcazione (media pesata)
Rbd		2,8	Rapporto di biforcazione diretto (media pesata)
Nga		760	Numero di anomalia gerarchica
Dga		58,7	Densità di anomalia gerarchica
Iga		2,2	Intensità di anomalia gerarchica
C_asim S (dx/sx)		0,6	Coeff asimmetria delle superfici rispetto all'asta principale
C_asim Fr (dx/sx)		1,0	Coeff asimmetria della "Fr Dren" rispetto all'asta principale





SOTTOBACINO DEL TORRENTE POMERE

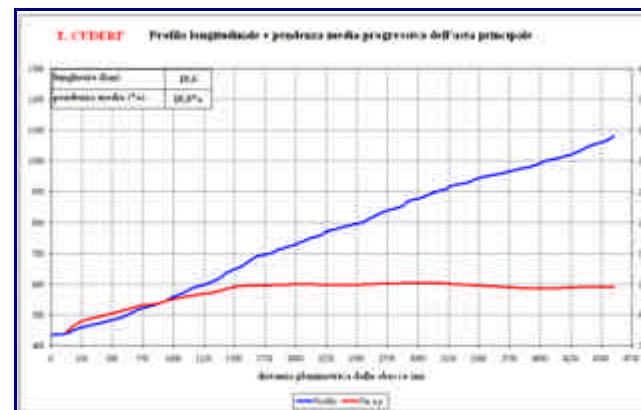
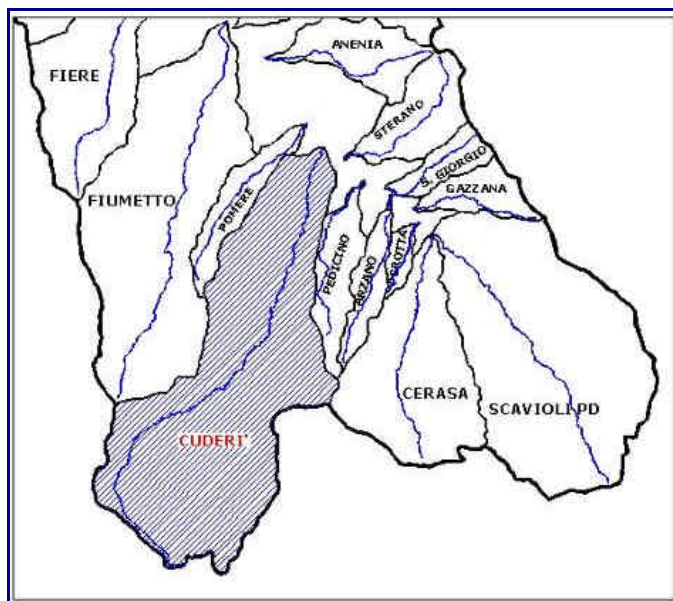
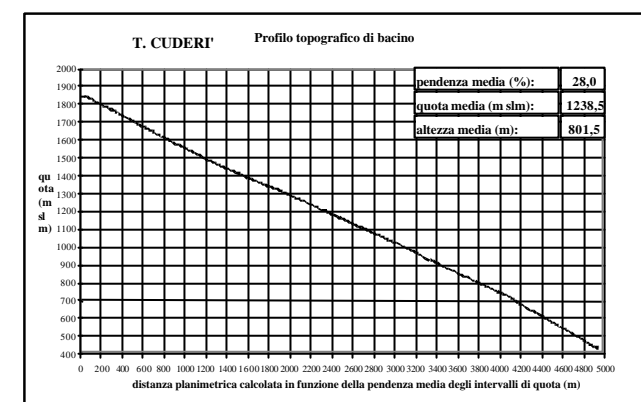
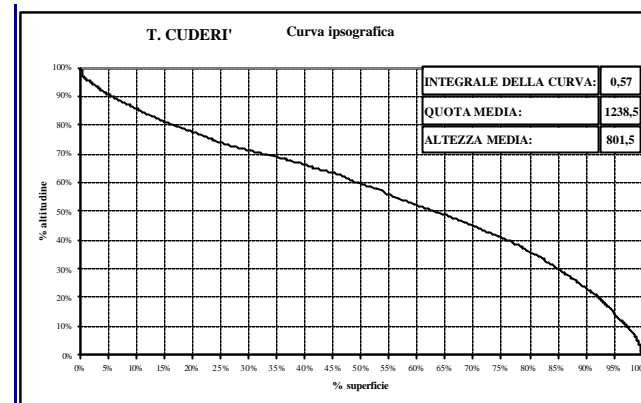
ELEMENTI DEL BACINO IDROGRAFICO			
S plan	(km ²)	1,7	Superficie misurata in pianta
S reale	(km ²)	1,8	Superficie in funz di "Pdm bac"
Perimetro	(km)	8,5	Lunghezza planimetrica dello spartiacque
Qmax	(m slm)	1181,5	Quota massima
Qmin	(m slm)	397,0	Quota minima
Qmed	(m slm)	830,7	Quota media
Hmed	(m)	433,7	Altezza media
Pdm bac	(%)	27,9%	Pendenza bacino (media pesata, metodo di Halvord-Horton)
L a.p.	(km)	3,9	Lunghezza dell'asta principale
Pdm ap	(%)	16,4%	Pendenza asta principale (media pesata)
C_forma		1,8	Coefficiente di forma (valore minimo=1)
Ordine max		4	Gerarchizzazione secondo Horton-Strahaler
D dren	(km ⁻¹)	34,1	Densità di drenaggio (su base 1:10.000)
Fr Dren	(km ²)	34,6	Frequenza di drenaggio
Idren		2,6	Intensità di drenaggio
Rb		4,3	Rapporto di biforcazione (media pesata)
Rbd		3,7	Rapporto di biforcazione diretto (media pesata)
Nga		17	Numero di anomalia gerarchica
Dga		9,8	Densità di anomalia gerarchica
Iga		0,4	Intensità di anomalia gerarchica
C_asim S (dx/sx)		1,1	Coeff asimmetria delle superfici rispetto all'asta principale
C_asim Fr (dx/sx)		1,0	Coeff asimmetria della "Fr Dren" rispetto all'asta principale





SOTTOBACINO DEL TORRENTE CUDERI'

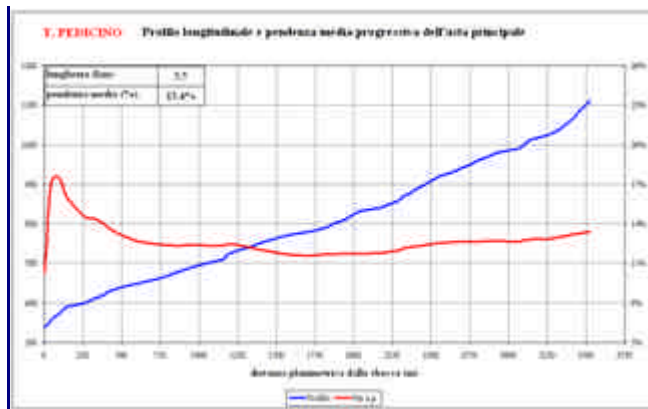
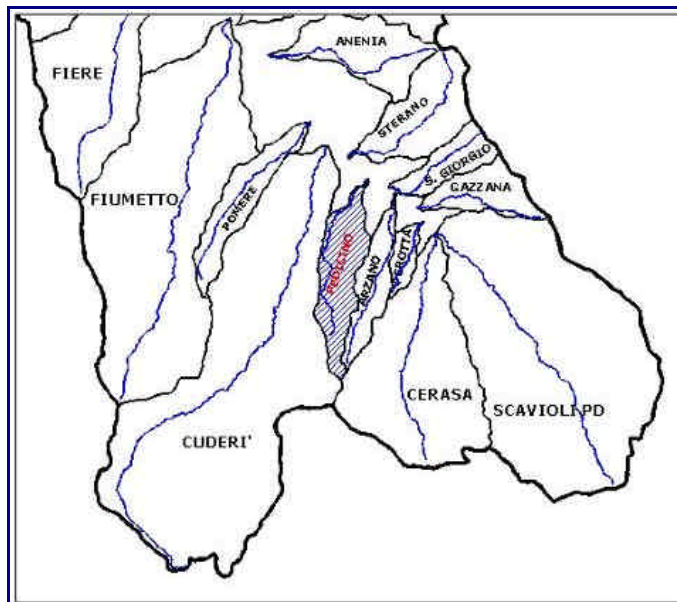
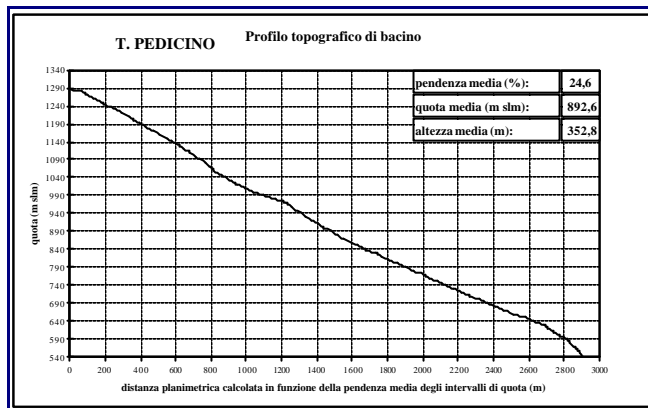
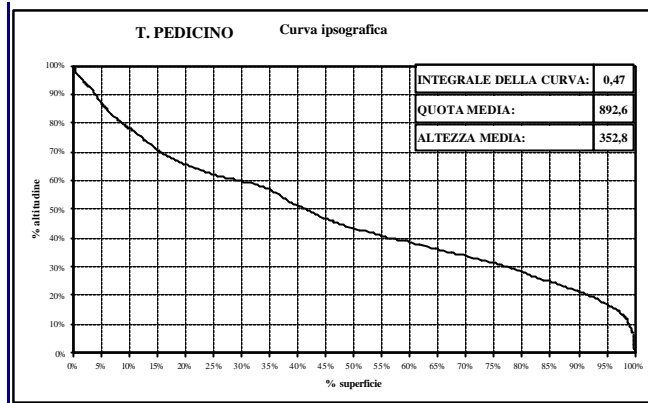
ELEMENTI DEL BACINO IDROGRAFICO			
S plan	(km ²)	16,9	Superficie misurata in pianta
S reale	(km ²)	17,6	Superficie in funz di "Pdm bac"
Perimetro	(km)	22,1	Lunghezza planimetrica dello spartiacque
Qmax	(m slm)	1847,0	Quota massima
Qmin	(m slm)	437,0	Quota minima
Qmed	(m slm)	1238,5	Quota media
Hmed	(m)	801,5	Altezza media
Pdm bac	(%)	28,0%	Pendenza bacino (media pesata, metodo di Halvord-Horton)
L a.p.	(km)	10,6	Lunghezza dell'asta principale
Pdm ap	(%)	10,8%	Pendenza asta principale (media pesata)
C_forma		1,5	Coefficiente di forma (valore minimo=1)
Ordine max		5	Gerarchizzazione secondo Horton-Strahaler
D dren	(km ⁻¹)	44,3	Densità di drenaggio (su base 1:10.000)
Fr Dren	(km ²)	37,7	Frequenza di drenaggio
Idren		11,1	Intensità di drenaggio
Rb		4,1	Rapporto di biforcazione (media pesata)
Rbd		3,1	Rapporto di biforcazione diretto (media pesata)
Nga		491	Numero di anomalie gerarchiche
Dga		29,0	Densità di anomalie gerarchiche
Iga		1,0	Intensità di anomalie gerarchiche
C_asim S (dx/sx)		1,7	Coeff asimmetria delle superfici rispetto all'asta principale
C_asim Fr (dx/sx)		0,8	Coeff asimmetria della "Fr Dren" rispetto all'asta principale





SOTTOBACINO DEL TORRENTE PEDICINO

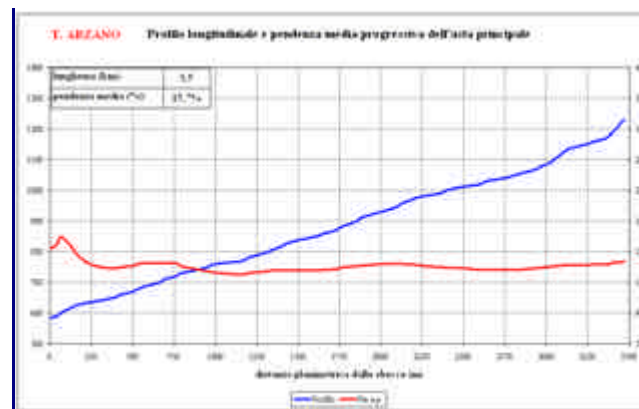
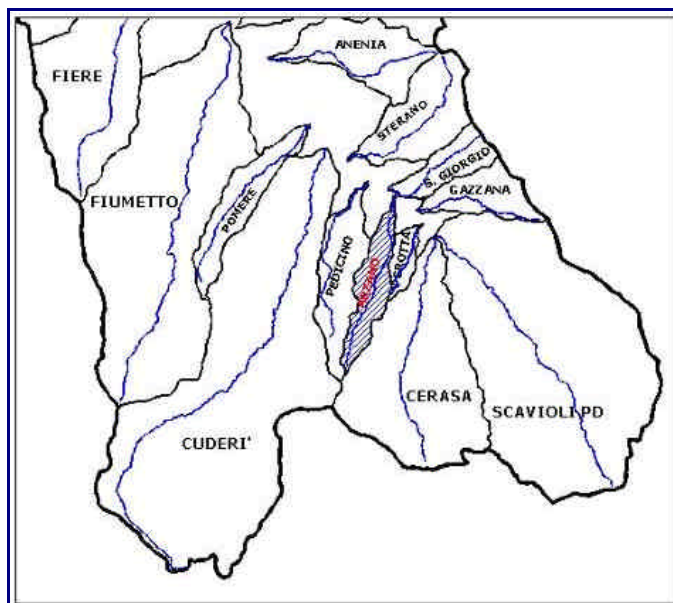
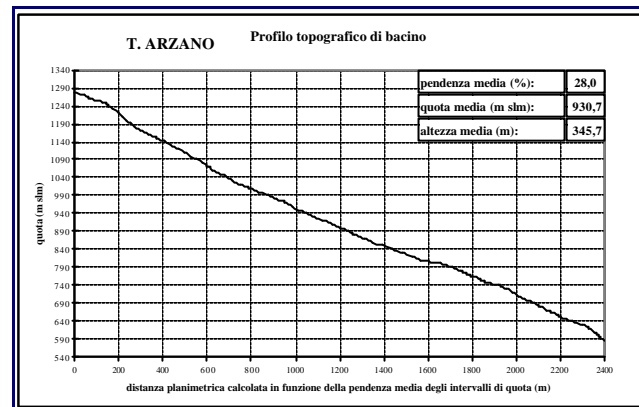
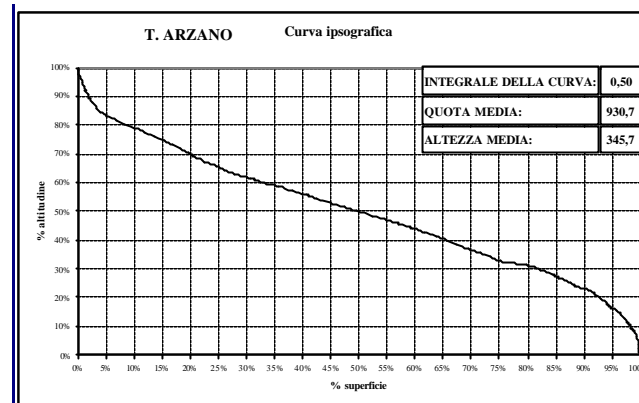
ELEMENTI DEL BACINO IDROGRAFICO			
S plan	(km ²)	2,0	Superficie misurata in pianta
S reale	(km ²)	2,0	Superficie in funz di "Pdm bac"
Perimetro	(km)	8,6	Lunghezza planimetrica dello spartiacque
Qmax	(m slm)	1285,0	Quota massima
Qmin	(m slm)	539,8	Quota minima
Qmed	(m slm)	892,6	Quota media
Hmed	(m)	352,8	Altezza media
Pdm bac	(%)	24,6%	Pendenza bacino (media pesata, metodo di Halvord-Horton)
L a.p.	(km)	4,3	Lunghezza dell'asta principale
Pdm ap	(%)	13,4%	Pendenza asta principale (media pesata)
C_forma		1,7	Coefficiente di forma (valore minimo=1)
Ordine max		4	Gerarchizzazione secondo Horton-Strahaler
D dren	(km ⁻¹)	30,8	Densità di drenaggio (su base 1:10.000)
Fr Dren	(km ²)	29,7	Frequenza di drenaggio
Idren		1,2	Intensità di drenaggio
Rb		4,5	Rapporto di biforcazione (media pesata)
Rbd		3,7	Rapporto di biforcazione diretto (media pesata)
Nga		12	Numero di anomalie gerarchiche
Dga		6,1	Densità di anomalie gerarchiche
Iga		0,3	Intensità di anomalie gerarchiche
C_asim S (dx/sx)		1,1	Coeff asimmetria delle superfici rispetto all'asta principale
C_asim Fr (dx/sx)		0,8	Coeff asimmetria della "Fr Dren" rispetto all'asta principale





SOTTOBACINO DEL TORRENTE ARZANO

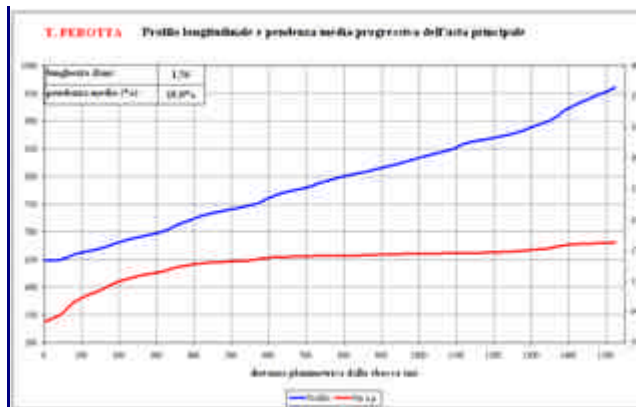
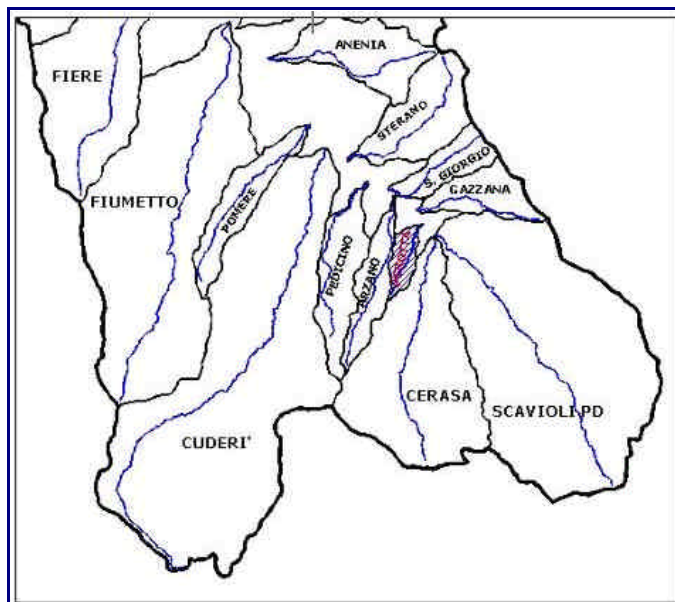
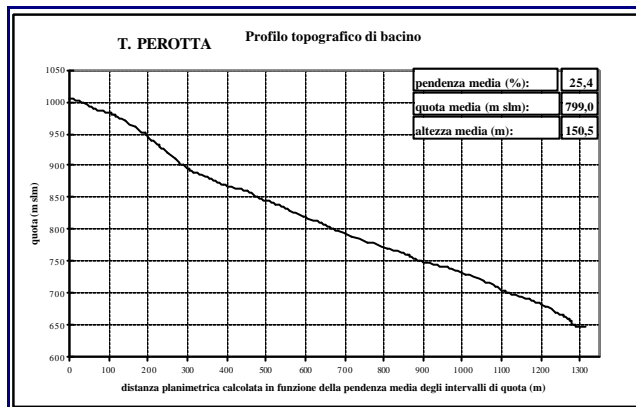
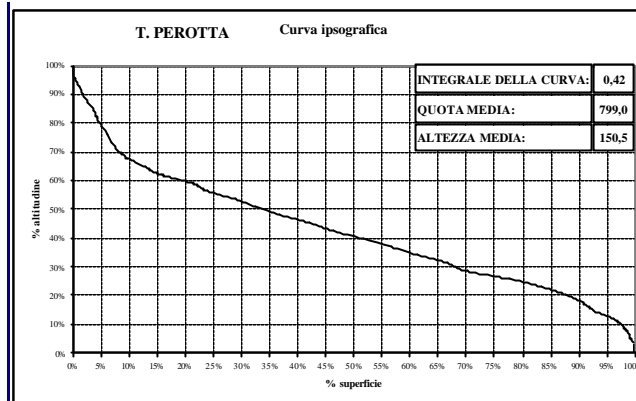
ELEMENTI DEL BACINO IDROGRAFICO			
S plan	(km ²)	2,0	Superficie misurata in pianta
S reale	(km ²)	2,0	Superficie in funz di "Pdm bac"
Perimetro	(km)	8,6	Lunghezza planimetrica dello spartiacque
Qmax	(m slm)	1285,0	Quota massima
Qmin	(m slm)	539,8	Quota minima
Qmed	(m slm)	892,6	Quota media
Hmed	(m)	352,8	Altezza media
Pdm bac	(%)	24,6%	Pendenza bacino (media pesata, metodo di Halvord-Horton)
L a.p.	(km)	4,3	Lunghezza dell'asta principale
Pdm ap	(%)	13,4%	Pendenza asta principale (media pesata)
C_forma		1,7	Coefficiente di forma (valore minimo=1)
Ordine max		4	Gerarchizzazione secondo Horton-Strahaler
D dren	(km ⁻¹)	30,8	Densità di drenaggio (su base 1:10.000)
Fr Dren	(km ²)	29,7	Frequenza di drenaggio
Idren		1,2	Intensità di drenaggio
Rb		4,5	Rapporto di biforcazione (media pesata)
Rbd		3,7	Rapporto di biforcazione diretto (media pesata)
Nga		12	Numero di anomalie gerarchiche
Dga		6,1	Densità di anomalie gerarchiche
Iga		0,3	Intensità di anomalie gerarchiche
C_asim S (dx/sx)		1,1	Coeff asimmetria delle superfici rispetto all'asta principale
C_asim Fr (dx/sx)		0,8	Coeff asimmetria della "Fr Dren" rispetto all'asta principale





SOTTOBACINO DEL TORRENTE PEROTTA

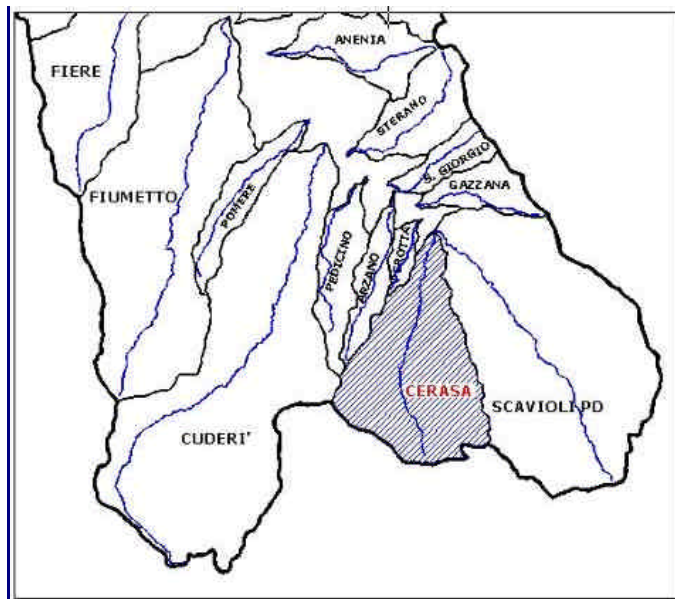
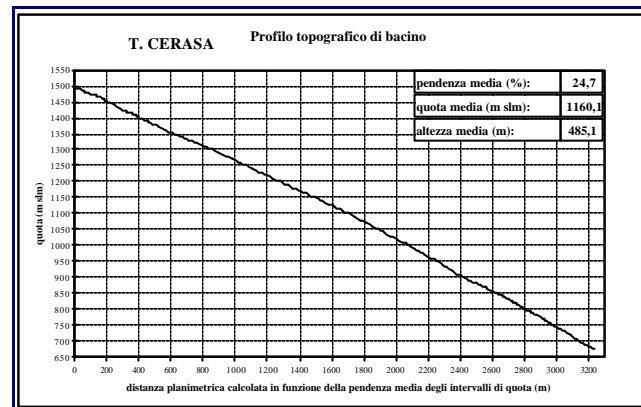
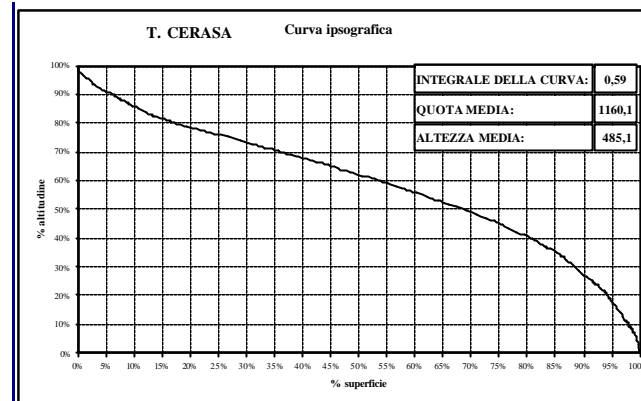
ELEMENTI DEL BACINO IDROGRAFICO			
S plan	(km ²)	0,5	Superficie misurata in pianta
S reale	(km ²)	0,5	Superficie in funz di "Pdm bac"
Perimetro	(km)	3,6	Lunghezza planimetrica dello spartiacque
Qmax	(m slm)	1005,0	Quota massima
Qmin	(m slm)	648,5	Quota minima
Qmed	(m slm)	799,0	Quota media
Hmed	(m)	150,5	Altezza media
Pdm bac	(%)	25,4%	Pendenza bacino (media pesata, metodo di Halvord-Horton)
L a.p.	(km)	1,6	Lunghezza dell'asta principale
Pdm ap	(%)	18,0%	Pendenza asta principale (media pesata)
C_forma		1,4	Coefficiente di forma (valore minimo=1)
Ordine max		4	Gerarchizzazione secondo Horton-Strahaler
D dren	(km ⁻¹)	45,9	Densità di drenaggio (su base 1: 10.000)
Fr Dren	(km ²)	59,5	Frequenza di drenaggio
Idren		0,9	Intensità di drenaggio
Rb		3,1	Rapporto di biforcazione (media pesata)
Rbd		2,7	Rapporto di biforcazione diretto (media pesata)
Nga		6	Numero di anomalie gerarchiche
Dga		12,3	Densità di anomalie gerarchiche
Iga		0,3	Intensità di anomalie gerarchiche
C_asim S (dx/sx)		0,6	Coeff asimmetria delle superfici rispetto all'asta principale
C_asim Fr (dx/sx)		0,6	Coeff asimmetria della "Fr Dren" rispetto all'asta principale





SOTTOBACINO DEL TORRENTE CERASA

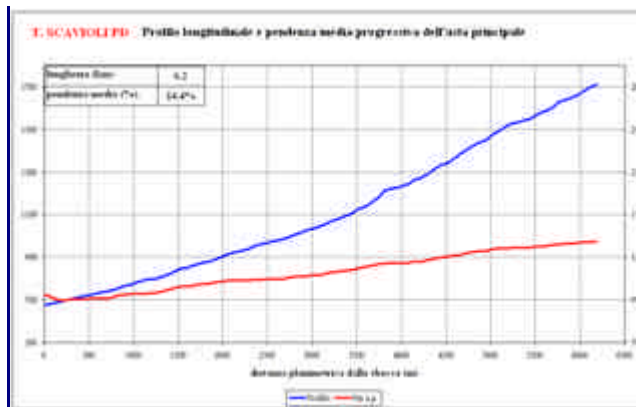
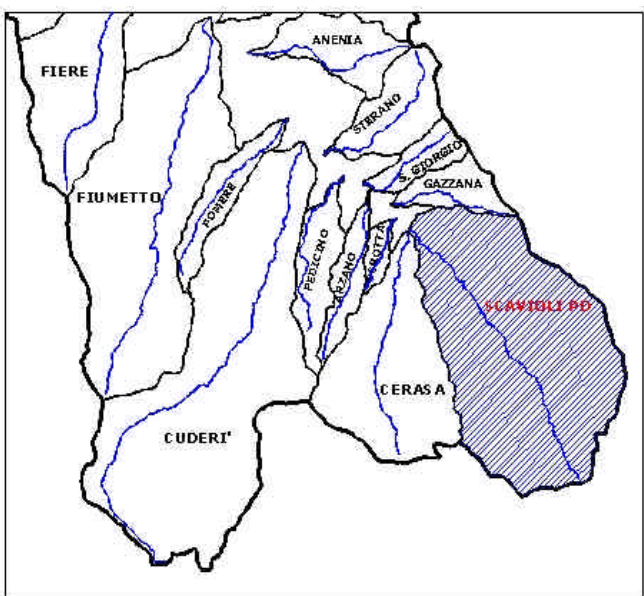
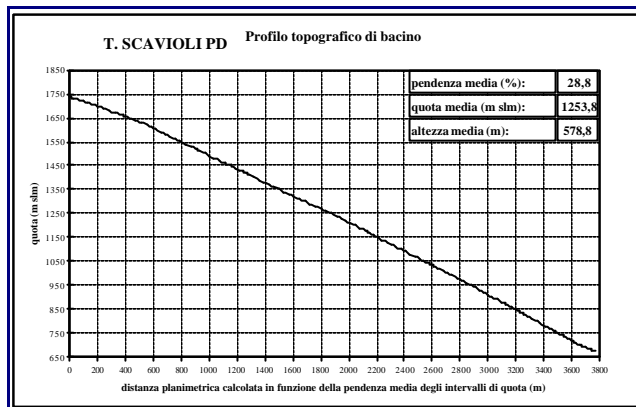
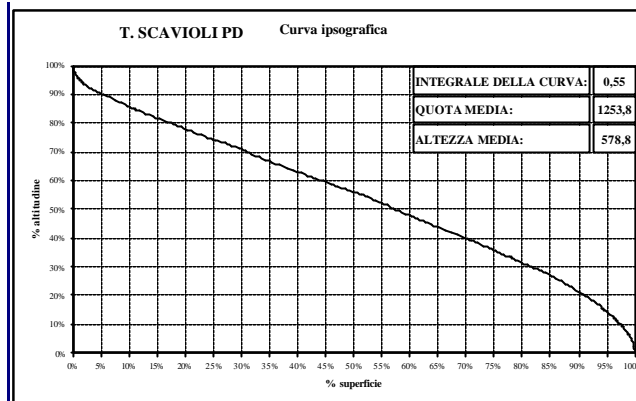
ELEMENTI DEL BACINO IDROGRAFICO			
S plan	(km ²)	6,9	Superficie misurata in pianta
S reale	(km ²)	7,1	Superficie in funz di "Pdm bac"
Perimetro	(km)	12,1	Lunghezza planimetrica dello spartiacque
Qmax	(m slm)	1493,4	Quota massima
Qmin	(m slm)	675,0	Quota minima
Qmed	(m slm)	1160,1	Quota media
Hmed	(m)	485,1	Altezza media
Pdm bac	(%)	24,7%	Pendenza bacino (media pesata, metodo di Halvord-Horton)
L a.p.	(km)	4,6	Lunghezza dell'asta principale
Pdm ap	(%)	14,7%	Pendenza asta principale (media pesata)
C_forma		1,3	Coefficiente di forma (valore minimo=1)
Ordine max		5	Gerarchizzazione secondo Horton-Strahaler
D dren	(km ⁻¹)	44,0	Densità di drenaggio (su base 1:10.000)
Fr Dren	(km ²)	31,8	Frequenza di drenaggio
Idren		1,9	Intensità di drenaggio
Rb		4,2	Rapporto di biforcazione (media pesata)
Rbd		3,2	Rapporto di biforcazione diretto (media pesata)
Nga		164	Numero di anomalie gerarchiche
Dga		23,9	Densità di anomalie gerarchiche
Iga		1,0	Intensità di anomalie gerarchiche
C_asim S (dx/sx)		1,2	Coeff asimmetria delle superfici rispetto all'asta principale
C_asim Fr (dx/sx)		1,0	Coeff asimmetria della "Fr Dren" rispetto all'asta principale





SOTTOBACINO DEL TORRENTE SCAVIOLI PD

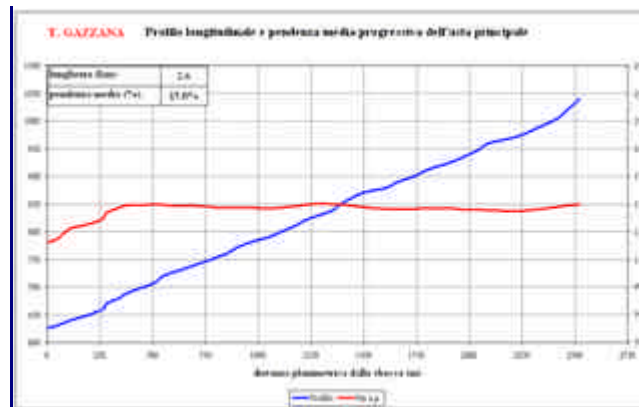
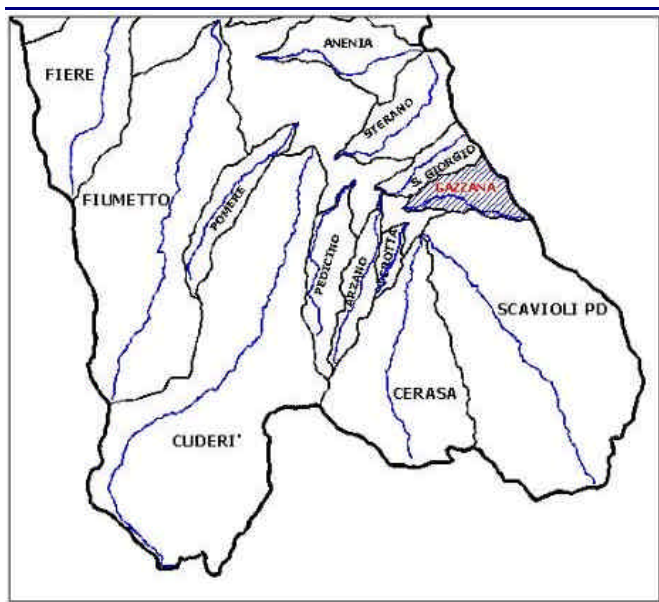
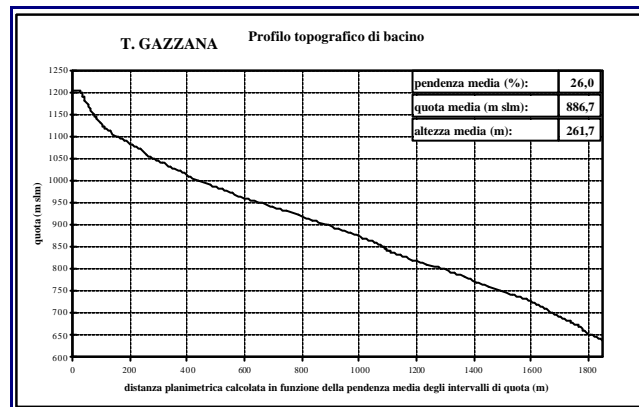
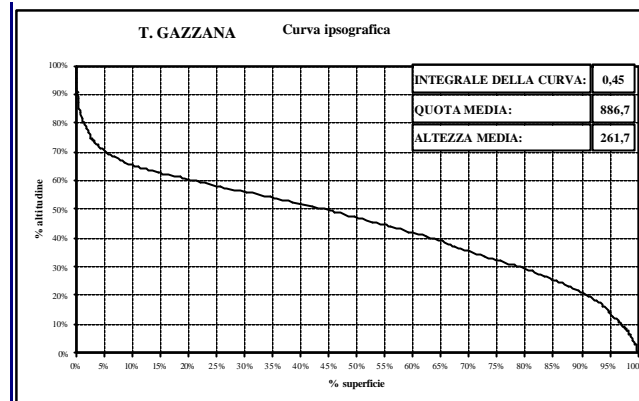
ELEMENTI DEL BACINO IDROGRAFICO			
S plan	(km ²)	14,1	Superficie misurata in pianta
S reale	(km ²)	14,6	Superficie in funz di "Pdm bac"
Perimetro	(km)	16,0	Lunghezza planimetrica dello spartiacque
Qmax	(m slm)	1736,5	Quota massima
Qmin	(m slm)	675,0	Quota minima
Qmed	(m slm)	1253,8	Quota media
Hmed	(m)	578,8	Altezza media
Pdm bac	(%)	28,8%	Pendenza bacino (media pesata, metodo di Halvord-Horton)
L a.p.	(km)	6,2	Lunghezza dell'asta principale
Pdm ap	(%)	14,4%	Pendenza asta principale (media pesata)
C_forma		1,2	Coefficiente di forma (valore minimo=1)
Ordine max		5	Gerarchizzazione secondo Horton-Strahaler
D dren	(km ⁻¹)	35,2	Densità di drenaggio (su base 1: 10.000)
Fr Dren	(km ²)	27,0	Frequenza di drenaggio
Idren		3,3	Intensità di drenaggio
Rb		4,0	Rapporto di biforcazione (media pesata)
Rbd		3,1	Rapporto di biforcazione diretto (media pesata)
Nga		321	Numero di anomalie gerarchiche
Dga		22,8	Densità di anomalie gerarchiche
Iga		1,1	Intensità di anomalie gerarchiche
C_asim S (dx/sx)		1,4	Coeff asimmetria delle superfici rispetto all'asta principale
C_asim Fr (dx/sx)		1,1	Coeff asimmetria della "Fr Dren" rispetto all'asta principale





SOTTOBACINO DEL TORRENTE GAZZANA

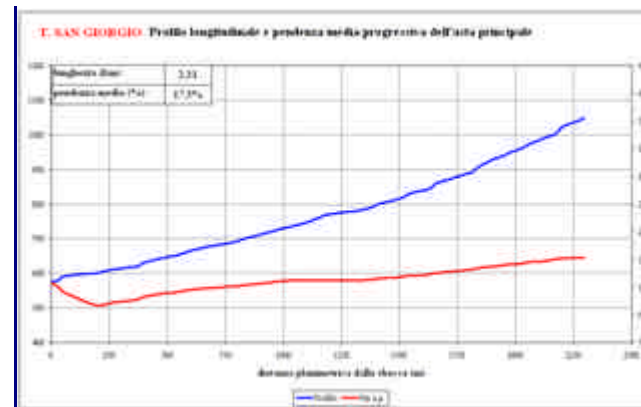
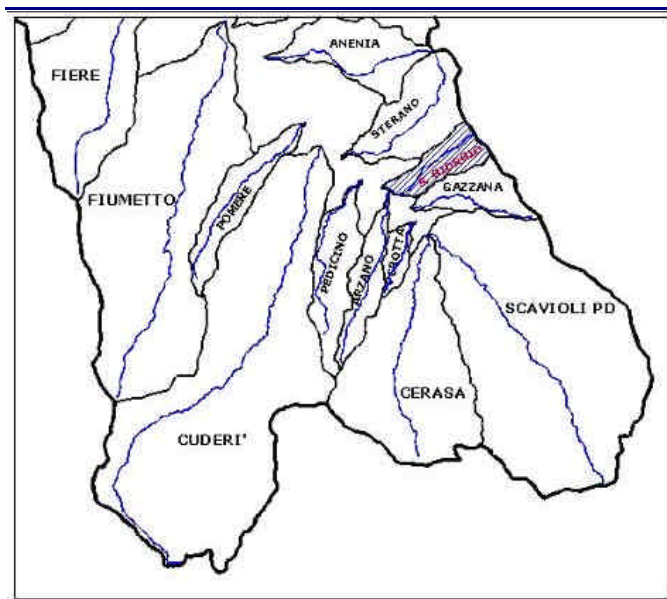
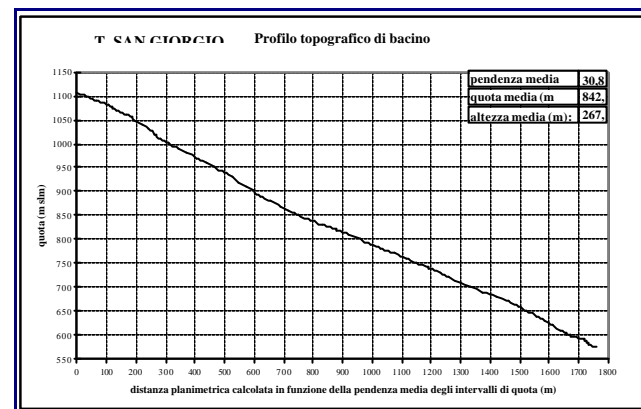
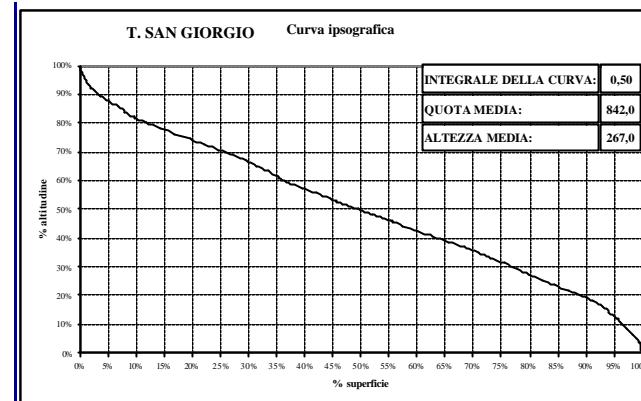
ELEMENTI DEL BACINO IDROGRAFICO			
S plan	(km ²)	1,4	Superficie misurata in pianta
S reale	(km ²)	1,4	Superficie in funz di "Pdm bac"
Perimetro	(km)	6,1	Lunghezza planimetrica dello spartiacque
Qmax	(m slm)	1205,0	Quota massima
Qmin	(m slm)	625,0	Quota minima
Qmed	(m slm)	886,7	Quota media
Hmed	(m)	261,7	Altezza media
Pdm bac	(%)	26,0%	Pendenza bacino (media pesata, metodo di Halvord-Horton)
L a.p.	(km)	2,6	Lunghezza dell'asta principale
Pdm ap	(%)	15,0%	Pendenza asta principale (media pesata)
C_forma		1,5	Coefficiente di forma (valore minimo=1)
Ordine max		3	Gerarchizzazione secondo Horton-Strahaler
D dren	(km ⁻¹)	24,9	Densità di drenaggio (su base 1: 10.000)
Fr Dren	(km ²)	31,1	Frequenza di drenaggio
Idren		1,7	Intensità di drenaggio
Rb		4,8	Rapporto di biforcazione (media pesata)
Rbd		4,3	Rapporto di biforcazione diretto (media pesata)
Nga		7	Numero di anomalie gerarchiche
Dga		5,1	Densità di anomalie gerarchiche
Iga		0,2	Intensità di anomalie gerarchiche
C_asim S (dx/sx)		4,1	Coeff asimmetria delle superfici rispetto all'asta principale
C_asim Fr (dx/sx)		1,8	Coeff asimmetria della "Fr Dren" rispetto all'asta principale





SOTTOBACINO DEL TORRENTE SAN GIORGIO

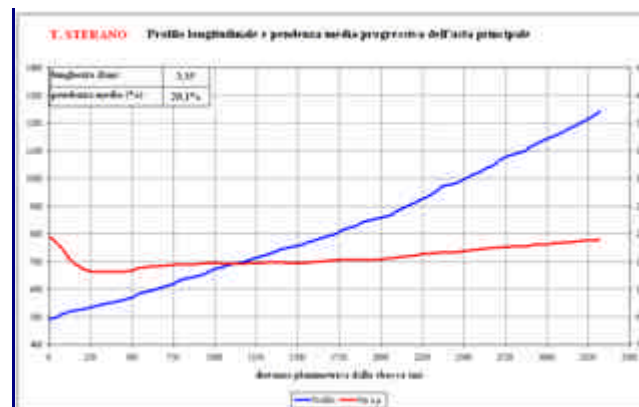
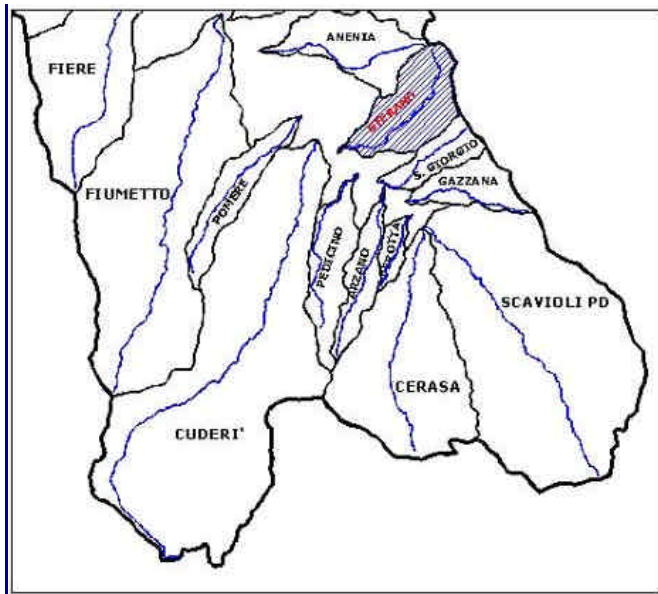
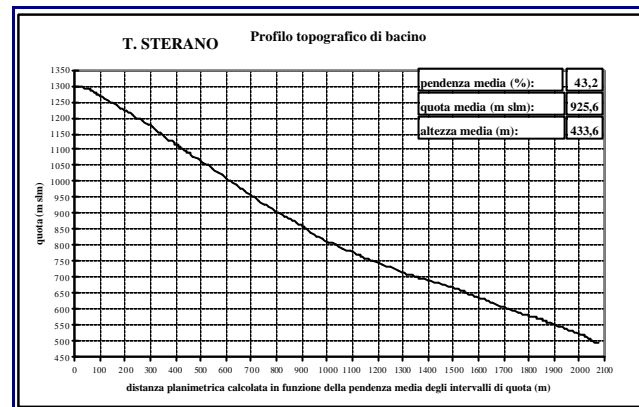
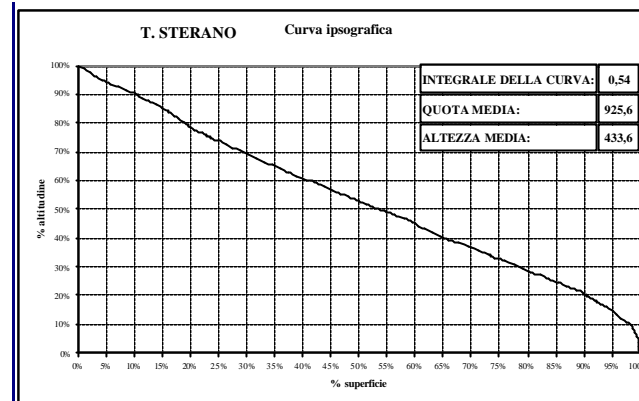
ELEMENTI DEL BACINO IDROGRAFICO			
S plan	(km ²)	1,1	Superficie misurata in pianta
S reale	(km ²)	1,2	Superficie in funz di "Pdm bac"
Perimetro	(km)	5,2	Lunghezza planimetrica dello spartiacque
Qmax	(m slm)	1105,0	Quota massima
Qmin	(m slm)	575,0	Quota minima
Qmed	(m slm)	842,0	Quota media
Hmed	(m)	267,0	Altezza media
Pdm bac	(%)	30,8%	Pendenza bacino (media pesata, metodo di Halvord-Horton)
L a.p.	(km)	2,3	Lunghezza dell'asta principale
Pdm ap	(%)	17,3%	Pendenza asta principale (media pesata)
C_forma		1,4	Coefficiente di forma (valore minimo=1)
Ordine max		3	Gerarchizzazione secondo Horton-Strahaler
D dren	(km ⁻¹)	24,1	Densità di drenaggio (su base 1:10.000)
Fr Dren	(km ²)	31,7	Frequenza di drenaggio
Idren		1,3	Intensità di drenaggio
Rb		4,8	Rapporto di biforcazione (media pesata)
Rbd		3,8	Rapporto di biforcazione diretto (media pesata)
Nga		8	Numero di anomalie gerarchiche
Dga		7,2	Densità di anomalie gerarchiche
Iga		0,3	Intensità di anomalie gerarchiche
C_asim S (dx/sx)		0,7	Coeff asimmetria delle superfici rispetto all'asta principale
C_asim Fr (dx/sx)		1,2	Coeff asimmetria della "Fr Dren" rispetto all'asta principale





SOTTOBACINO DEL TORRENTE STERANO

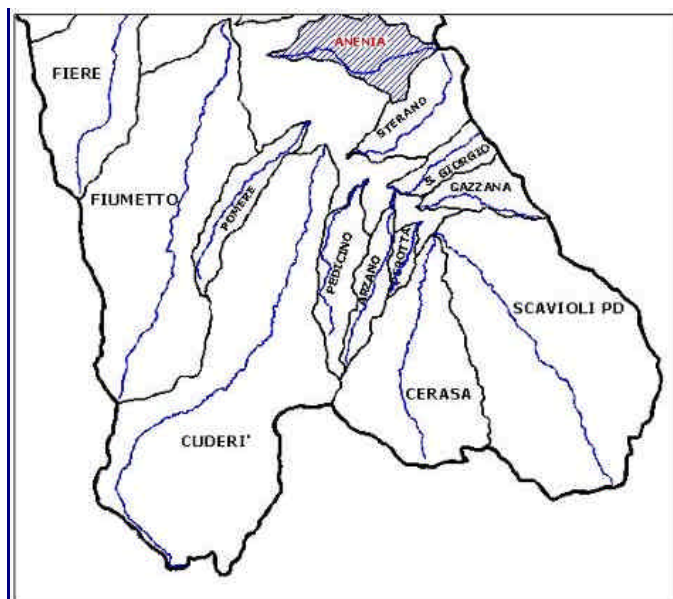
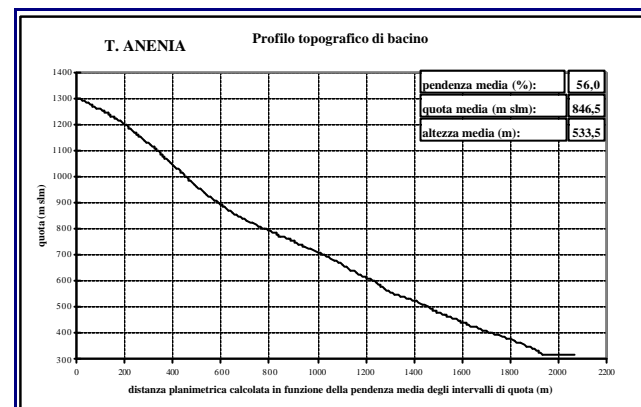
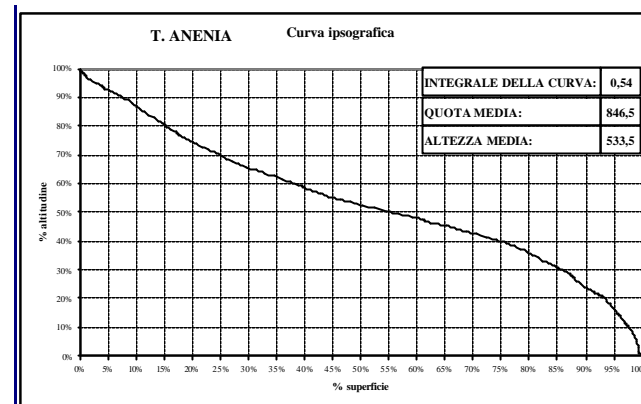
ELEMENTI DEL BACINO IDROGRAFICO			
S plan	(km ²)	2,4	Superficie misurata in pianta
S reale	(km ²)	2,7	Superficie in funz di "Pdm bac"
Perimetro	(km)	7,3	Lunghezza planimetrica dello spartiacque
Qmax	(m slm)	1300,0	Quota massima
Qmin	(m slm)	492,0	Quota minima
Qmed	(m slm)	925,6	Quota media
Hmed	(m)	433,6	Altezza media
Pdm bac	(%)	43,2%	Pendenza bacino (media pesata, metodo di Halvord-Horton)
L a.p.	(km)	3,3	Lunghezza dell'asta principale
Pdm ap	(%)	20,1%	Pendenza asta principale (media pesata)
C_forma		1,3	Coefficiente di forma (valore minimo=1)
Ordine max		4	Gerarchizzazione secondo Horton-Strahaler
D dren	(km ⁻¹)	26,1	Densità di drenaggio (su base 1:10.000)
Fr Dren	(km ²)	18,8	Frequenza di drenaggio
Idren		1,1	Intensità di drenaggio
Rb		3,5	Rapporto di biforcazione (media pesata)
Rbd		2,4	Rapporto di biforcazione diretto (media pesata)
Nga		26	Numero di anomalie gerarchiche
Dga		10,6	Densità di anomalie gerarchiche
Iga		0,8	Intensità di anomalie gerarchiche
C_asim S (dx/sx)		1,1	Coeff asimmetria delle superfici rispetto all'asta principale
C_asim Fr (dx/sx)		1,0	Coeff asimmetria della "Fr Dren" rispetto all'asta principale





SOTTOBACINO DEL TORRENTE ANENIA

ELEMENTI DEL BACINO IDROGRAFICO			
S plan	(km ²)	2,4	Superficie misurata in pianta
S reale	(km ²)	2,8	Superficie in funz di "Pdm bac"
Perimetro	(km)	8,1	Lunghezza planimetrica dello spartiacque
Qmax	(m slm)	1298,0	Quota massima
Qmin	(m slm)	313,0	Quota minima
Qmed	(m slm)	846,5	Quota media
Hmed	(m)	533,5	Altezza media
Pdm bac	(%)	56,0%	Pendenza bacino (media pesata, metodo di Halvord-Horton)
L a.p.	(km)	3,5	Lunghezza dell'asta principale
Pdm ap	(%)	20,6%	Pendenza asta principale (media pesata)
C_forma		1,5	Coefficiente di forma (valore minimo=1)
Ordine max		4	Gerarchizzazione secondo Horton-Strahaler
D dren	(km ⁻¹)	27,9	Densità di drenaggio (su base 1:10.000)
Fr Dren	(km ²)	17,0	Frequenza di drenaggio
Idren		2,0	Intensità di drenaggio
Rb		3,8	Rapporto di biforcazione (media pesata)
Rbd		2,7	Rapporto di biforcazione diretto (media pesata)
Nga		17	Numero di anomalie gerarchiche
Dga		7,0	Densità di anomalie gerarchiche
Iga		0,6	Intensità di anomalie gerarchiche
C_asim S (dx/sx)		2,3	Coeff asimmetria delle superfici rispetto all'asta principale
C_asim Fr (dx/sx)		3,6	Coeff asimmetria della "Fr Dren" rispetto all'asta principale





ELEMENTI DEL BACINO IDROGRAFICO			FIUMETTO	POMERE	CUDERI	PEDICINO	ARZANO	PEROTTA	CERASA	SCAVIOLIPOLI	GAZZAMA	SAN GIORGIO	STERAMO	ANENIA
TAB. A														
S plan	Superficie misurata in pianta	(km ²)	13,0	1,7	16,9	2,0	1,3	0,5	6,9	14,1	1,4	1,1	2,4	2,4
S reale	Superficie reale	(km ²)	13,6	1,8	17,6	2,0	1,3	0,5	7,1	14,6	1,4	1,2	2,7	2,8
Perimetro	Lunghezza planimetrica dello spartiacque	(km)	18,0	8,5	22,1	8,6	7,5	3,6	12,1	16,0	6,1	5,2	7,3	8,1
Qmax	Quota massima	(m slm)	1.453,8	1.181,5	1.847,0	1.285,0	1.275,0	1.005,0	1.493,4	1.736,5	1.205,0	1.105,0	1.300,0	1.298,0
Qmin	Quota minima	(m slm)	273,5	397,0	437,0	539,8	585,0	648,5	675,0	675,0	625,0	575,0	492,0	313,0
Qmed	Quota media	(m slm)	937,0	830,7	1.238,5	892,6	930,7	799,0	1160,1	1.253,8	886,7	842,0	925,6	846,5
Hmed	Altezza media	(m)	663,5	433,7	801,5	352,8	345,7	150,5	485,1	578,8	261,7	267,0	433,6	533,5
Pdm bac	Pendenza bacino (media pesata, metodo di Halvord-Horton)	(%)	31,8%	27,9%	28,0%	24,6%	28,0%	25,4%	24,7%	28,8%	26,0%	30,8%	43,2%	56,0%
L a.p.	Lunghezza dell'asta principale	(km)	8,1	3,9	10,6	4,3	3,5	1,6	4,6	6,2	2,6	2,3	3,3	3,5
Pdm a.p.	Pendenza asta principale (media pesata)	(%)	12,3%	16,4%	10,8%	13,4%	15,7%	18,0%	14,7%	14,4%	15,0%	17,3%	20,1%	20,6%
C_forma	Coefficiente di forma (valore minimo=1)	(-)	1,4	1,8	1,5	1,7	1,9	1,4	1,3	1,2	1,5	1,4	1,3	1,5
Ordine max	Gerarchizzazione secondo Horton-Strahler	(-)	6	4	5	4	4	4	5	5	3	3	4	4
D dren	Densità di drenaggio (su base 1:10.000)	(km ⁻¹)	50,3	34,1	44,3	30,8	28,8	45,9	44,0	35,2	24,9	24,1	26,1	27,9
Fr Dren	Frequenza di drenaggio	(km ⁻²)	36,8	34,6	37,7	29,7	31,0	59,5	31,8	27,0	31,1	31,7	18,8	17,0
Idren	Intensità di drenaggio	(-)	2,1	2,6	11,1	1,2	1,0	0,9	1,9	3,3	1,7	1,3	1,1	2,0
Rb	Rapporto di biforcazione (media pesata)	(-)	3,7	4,3	4,1	4,5	3,5	3,1	4,2	4,0	4,8	4,8	3,5	3,8
Rbd	Rapporto di biforcazione diretto (media pesata)	(-)	2,8	3,7	3,1	3,7	2,7	2,7	3,2	3,1	4,3	3,8	2,4	2,7
Nga	Numero di anomalie gerarchiche	(-)	760	17	491	12	14	6	164	321	7	8	26	17
Dga	Densità di anomalie gerarchiche	(km ⁻²)	58,7	9,8	29,0	6,1	10,9	12,3	23,9	22,8	5,1	7,2	10,6	7,0
Iga	Intensità di anomalie gerarchiche	(-)	2,2	0,4	1,0	0,3	0,5	0,3	1,0	1,1	0,2	0,3	0,8	0,6
C_asim S (dx/sz)	Coeff. asimmetria delle superfici rispetto all'asta principale	(-)	0,6	1,1	1,7	1,1	0,8	0,6	1,2	1,4	4,1	0,7	1,1	2,3
C_asim Fr (dx/sz)	Coeff. asimmetria della "Fr Dren" rispetto all'asta principale	(-)	1,0	1,0	0,8	0,8	1,2	0,6	1,0	1,1	1,8	1,2	1,0	3,6



ELEMENTI DEL BACINO IDROGRAFICO TAB. B		FIUMETTO	POMERE	CUDERI	PEDICINO	ARZANO	PEROTTA	CERASA	SCAVIOLI PD	GAZZANA	SAN GIORGIO	STERAMO	ANENIA
N° aste di 1° ordine	(-)	348	46	482	45	29	20	166	285	34	28	33	30
Lunghezza totale	(km)	71,7	10,1	98,9	9,4	5,7	3,3	38,5	65,0	8,6	6,7	11,9	9,7
Media	(km)	0,21	0,22	0,21	0,21	0,20	0,17	0,23	0,23	0,25	0,24	0,36	0,32
S.Q.M.	(km)	0,14	0,10	0,13	0,12	0,09	0,08	0,16	0,14	0,13	0,15	0,21	0,24
Coeff. Variaz. 1° ordine	(-)	68%	46%	65%	58%	43%	50%	71%	61%	52%	65%	58%	74%
N° aste di 2° ordine	(-)	97	11	122	9	8	6	39	70	8	6	10	7
Lunghezza totale	(km)	29,5	4,3	41,2	5,4	2,8	2,6	18,3	29,5	3,6	2,5	4,1	2,9
Media	(km)	0,30	0,39	0,34	0,60	0,35	0,43	0,47	0,42	0,45	0,42	0,41	0,41
S.Q.M.	(km)	0,22	0,25	0,30	0,48	0,16	0,31	0,33	0,35	0,33	0,42	0,27	0,23
Coeff. Variaz. 2° ordine	(-)	72%	63%	89%	80%	45%	70%	71%	83%	72%	102%	66%	55%
N° aste di 3° ordine	(-)	22	2	27	3	2	2	9	19	1	1	2	3
Lunghezza totale	(km)	13,7	2,2	24,3	2,4	2,5	0,5	9,9	14,0	1,4	1,6	1,1	1,4
Media	(km)	0,62	1,10	0,90	0,81	1,23	0,26	1,10	0,74			0,56	0,48
S.Q.M.	(km)	0,51	1,15	0,68	0,66	0,93	0,05	0,85	0,77			0,36	0,52
Coeff. Variaz. 3° ordine	(-)	82%	105%	76%	82%	76%	20%	77%	105%			64%	109%
N° aste di 4° ordine	(-)	7	1	5	1	1	1	3	4			1	1
Lunghezza totale	(km)	3,1	1,3	5,8	1,4	0,8	0,3	1,7	3,5			1,8	1,5
Media	(km)	0,44		1,16				0,57	0,87				
S.Q.M.	(km)	0,42		1,10				0,50	0,48				
Coeff. Variaz. 4° ordine	(-)	95%		95%				88%	55%				
N° aste di 5° ordine	(-)	2		1				1	1				
Lunghezza totale	(km)	2,4		4,8				2,3	3,4				
Media	(km)	1,22											
S.Q.M.	(km)	1,35											
Coeff. Variaz. 5° ordine	(-)	111%											
N° aste di 6° ordine	(-)	1											
Lunghezza totale	(km)	4,3											
Media	(km)												
S.Q.M.	(km)												
Coeff. Variaz. 5° ordine	(-)												